Contrôle en boucle fermée à travers un réseau

un aperçu de quelques problématiques et résultats récents

Jean-Pierre Richard

Journée SECTAE

Systèmes Embarqués Communicants Tolérants aux Fautes

Nancy, AIP Lorraine, 9 octobre 2008













Quelques surveys...

- Control methodologies in Networked Control Systems
 Y. Tipsuwan, M.Y. Chow, Control Eng. Practice 11, 1099-111, 2003
- Networked Control System: a brief survey
 T.C. Yang, IEE Proc. Control Theory Appl., 153 (4), 2006
- A survey of recent results in Networked Control Systems
 J.P. Hespanha, P. Naghshtabrizi, Y. Xu, Proc. of the IEEE, 95 (1), 2007



Trends in Networked Control Systems
 S. Zampieri, 17th IFAC World Congress, Seoul 2008



Information - Commande - Communication

sans oublier...

Systèmes commandés en réseau

sous la direction de Jean-Pierre Richard Thierry Divoux

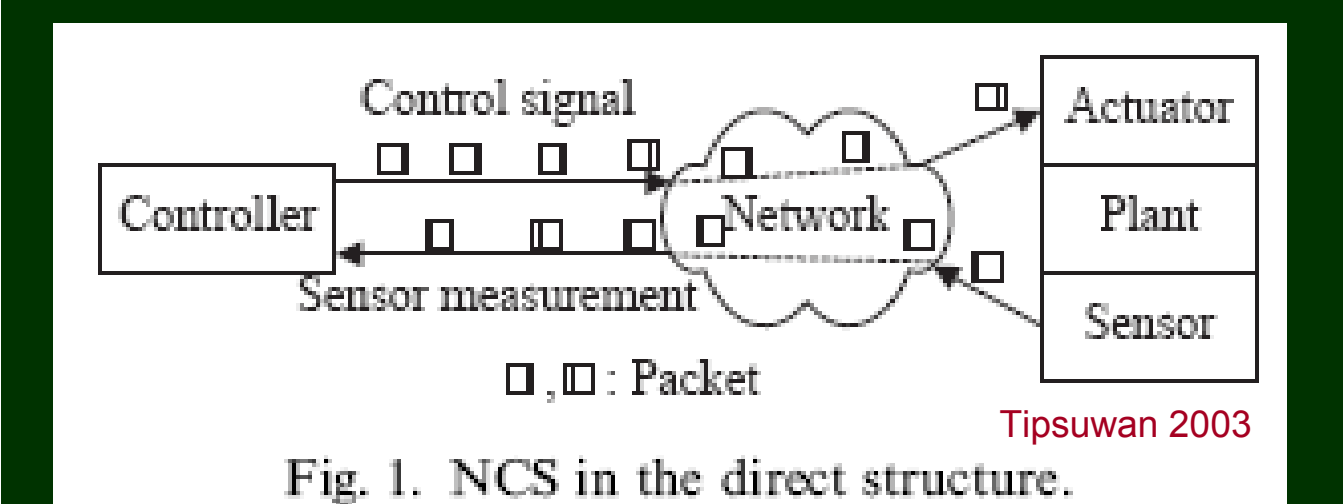
2007

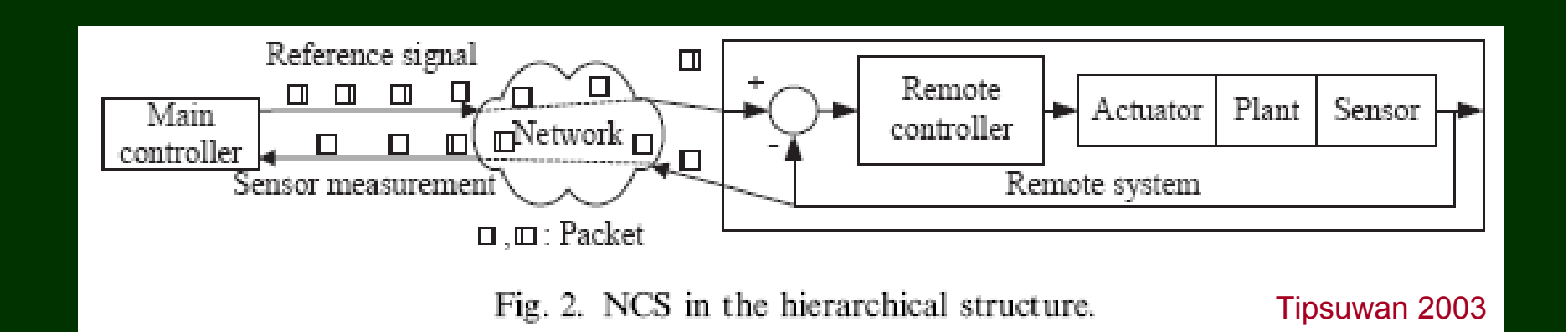


Lavoisier

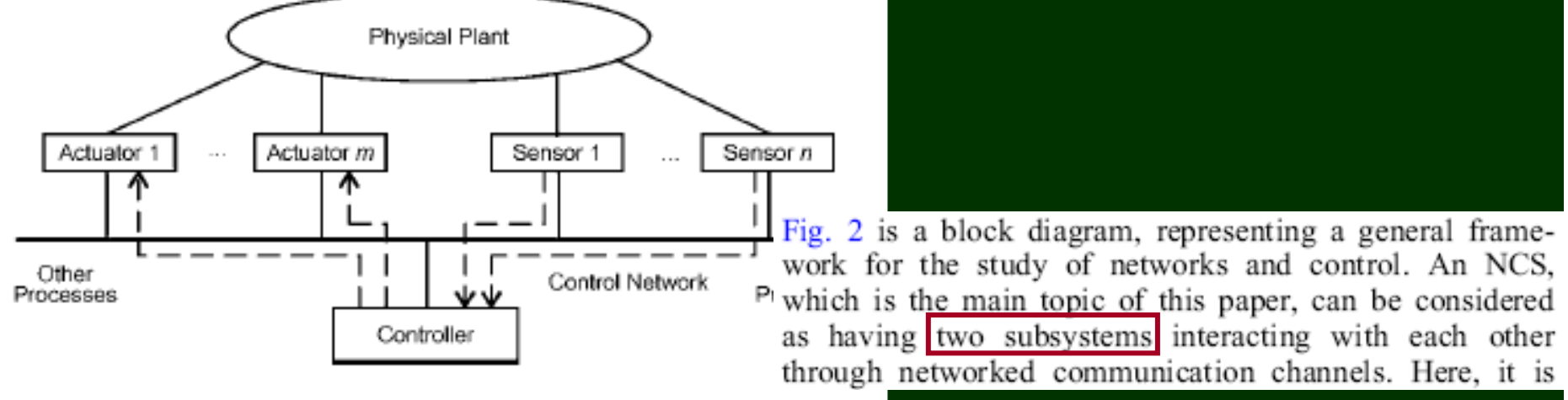
C. Canudas de Wit, T. Divoux, P. Fraisse, D. Georges, J.P. Georges, G. Juanole, A. Lelevé, F. Lepage, F. Michaut, G. Mouney, W. Perruquetti, J.P. Richard, E. Rondeau, O. Sename, A. Seuret, E. Wittrant.

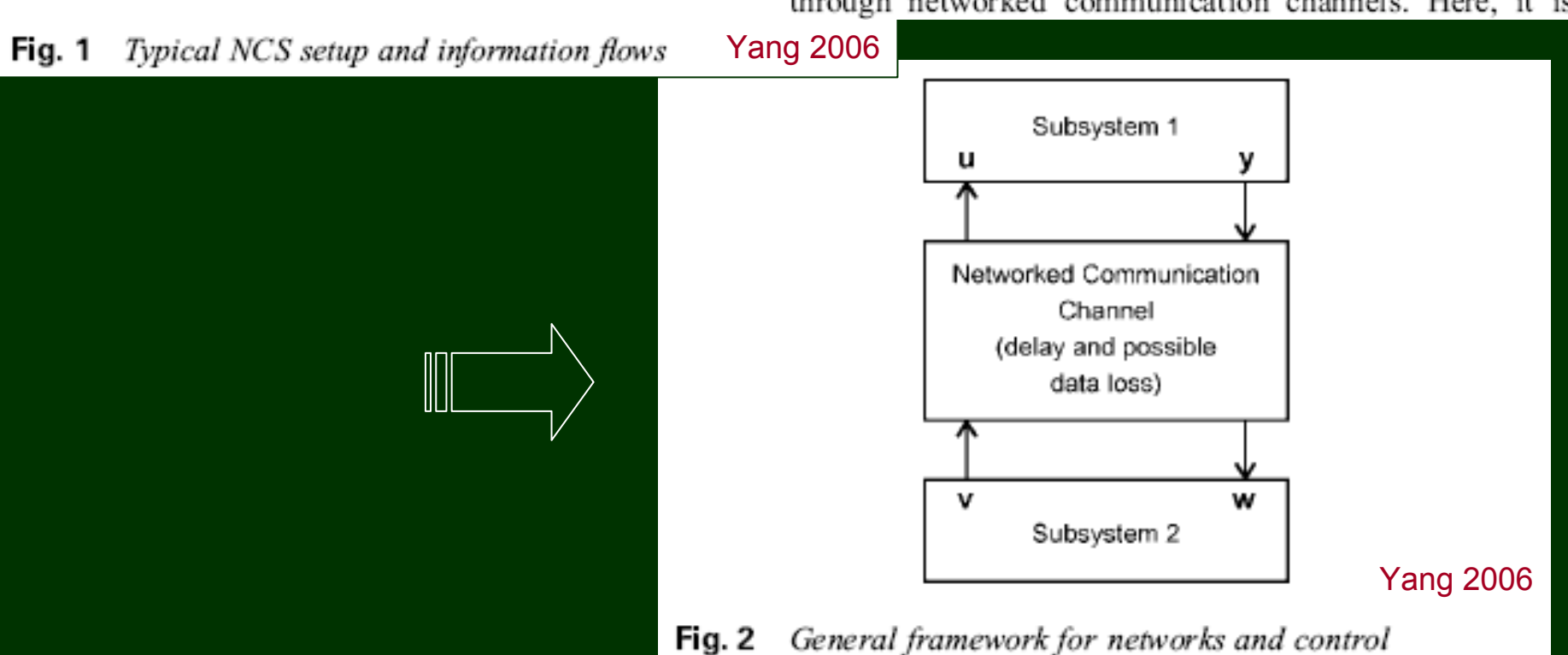
NCS mono-boucle





NCS multi-boucle?





NCS multi-boucle?

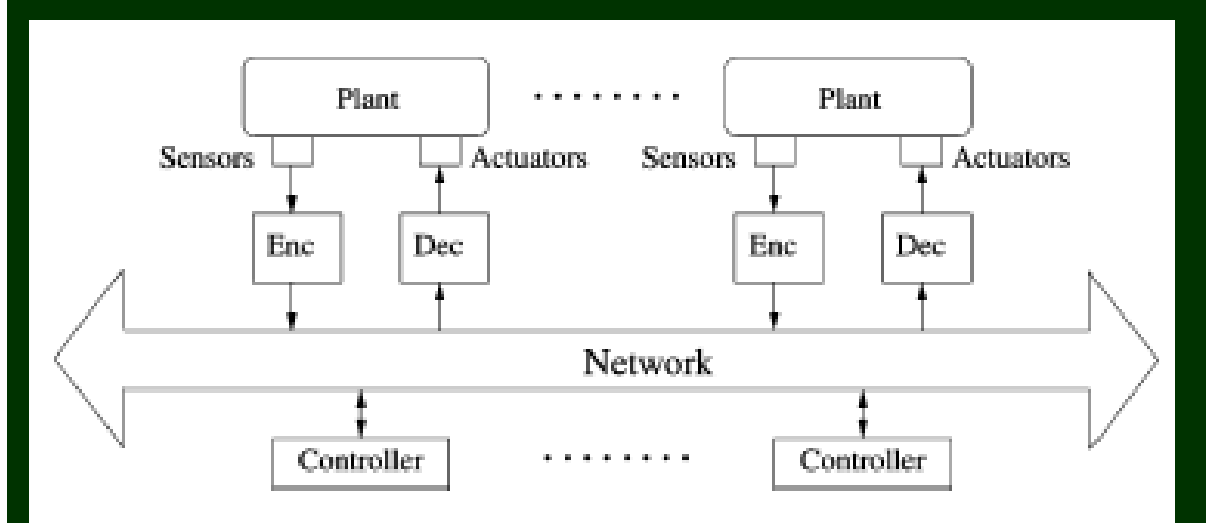
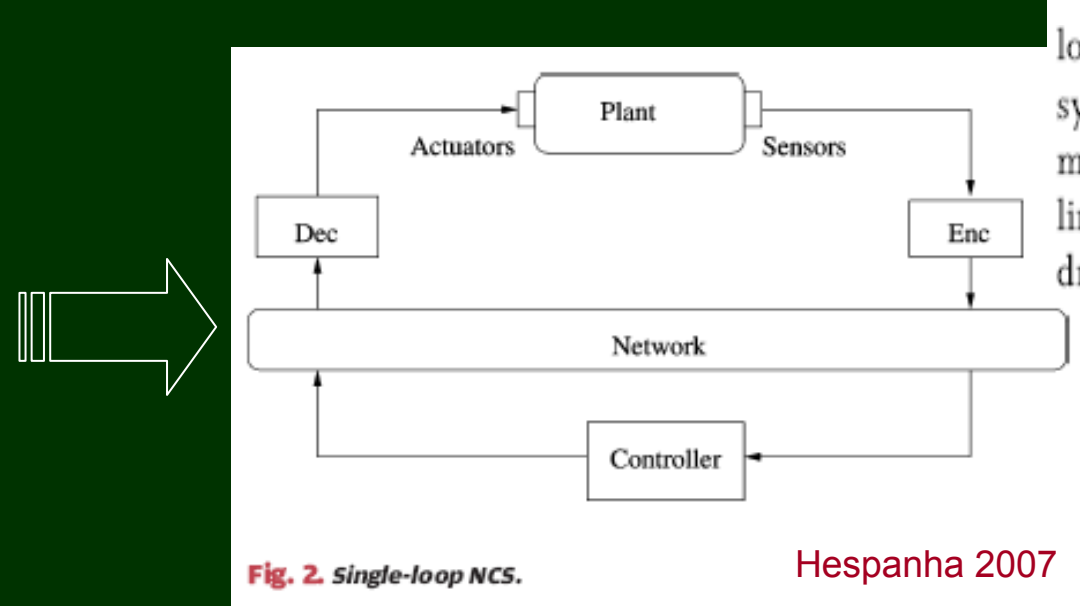


Fig. 1. General NCS architecture.

Hespanha 2007

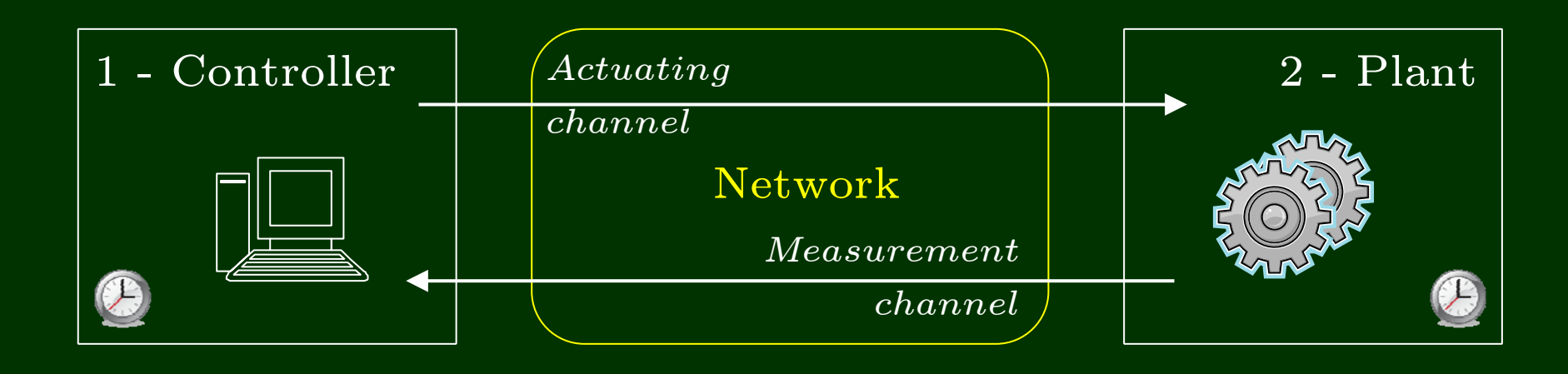


It is also often common to consider a single feedback loop as in Fig. 2. Although considerably simpler than the system shown in Fig. 1, this architecture still captures many important characteristics of NCSs such as bandwidth limitations, variable communication delays, and packet dropouts.

NCS mono-boucle.

... on se limitera à ce cas ici aussi.

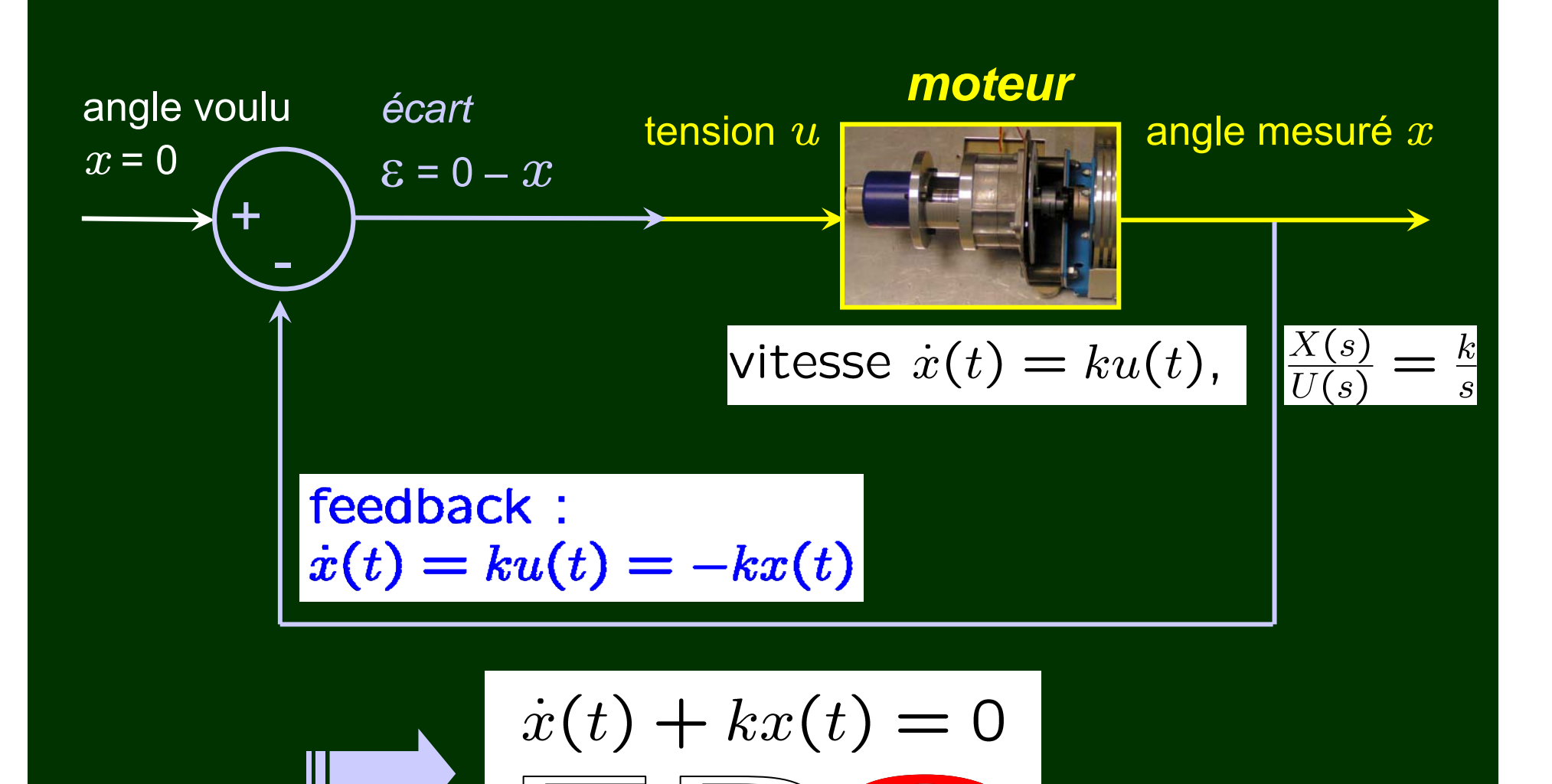
Un bon point de départ pour comprendre les problématiques liées à la présence du réseau dans la boucle



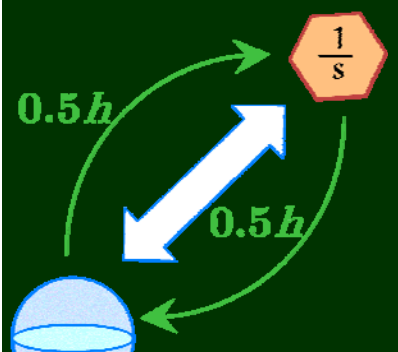
Plan

- 1. Introduction : un exemple rudimentaire
- 2. Problématique générale
- 3. Echantillonnage et retard
- 4. Commande
 - ✓ to buff, or not to buff?
 - √ sélection de résultats (thèses France)
- 5. Conclusion

1) Un exemple rudimentaire







angle voulu moteur embarqué (satellite)

 $x^{c} = 0$ + - ϵ

ligne de com. \rightarrow retard h/2



angle mesuré x(t)

commande transmise $\epsilon(t$ -h/2)

feedback distant:

$$u(t) = k\epsilon(t - h/2) = -kx(t - h)$$

angle transmis x(t-h/2)

ligne de com. \rightarrow retard h/2

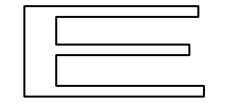
Paris-LA $h/2 \approx 50 \ 10^{-3} {\rm sec} \ (15 \ 10^6 {\rm m})$

$$战$$
 - $(h/2 ≈ 1.28 sec (0.4 10 °m))$

$$\dot{5} - \dot{6} \quad h/2 \approx 260 \text{ à } 1260 \text{ sec...}$$

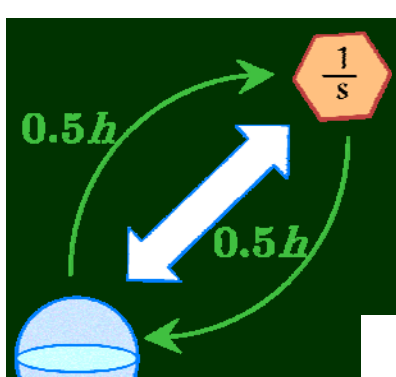


$$\dot{x}(t) + kx(t-h) = 0$$









exercice à donner... à nos étudiants

$$\dot{x}(t) + x(t - h) = 0$$

$$(cas h = 1, k = 1)$$

$$\dot{x}(t) = -x(t-1)$$

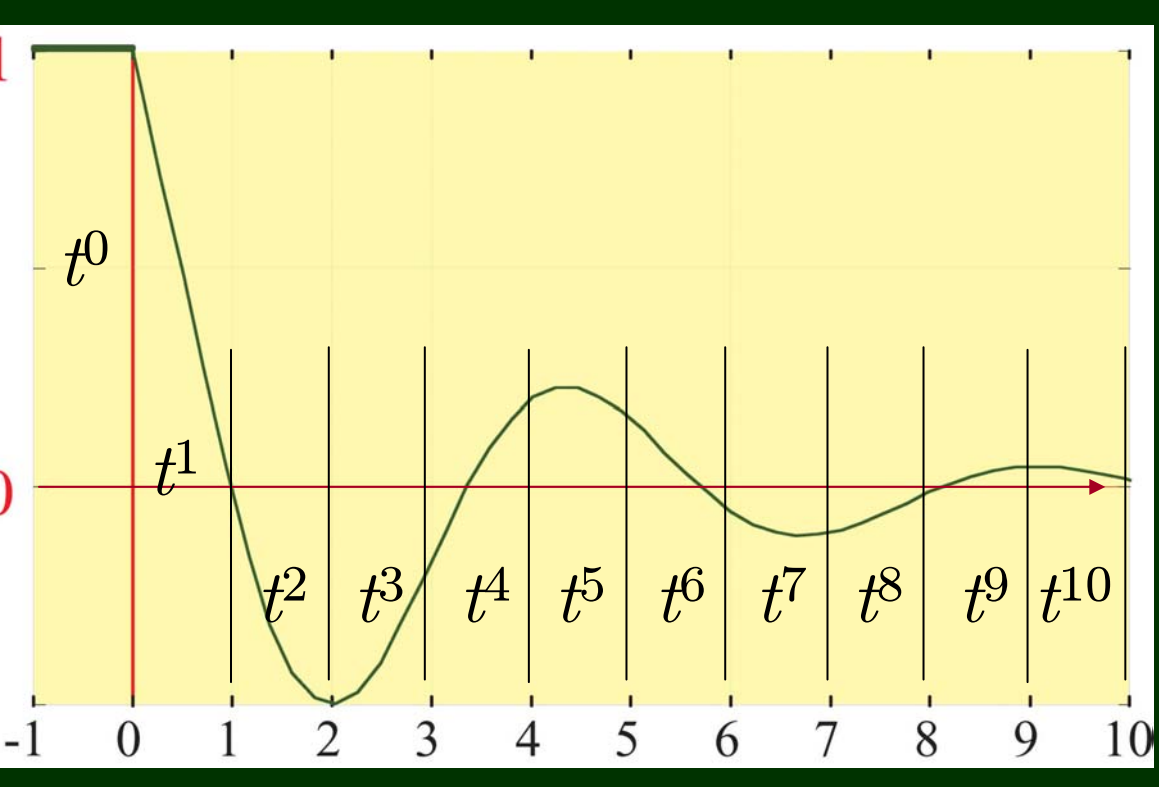
C.I. t = 0: x(t = 0) = 1??

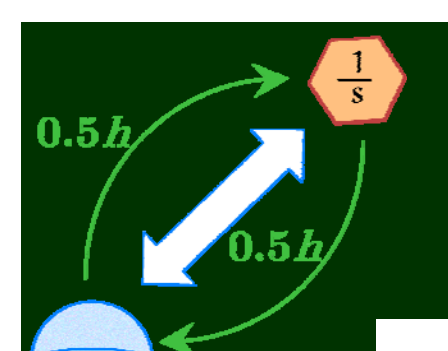
 $t \in [-1, 0]$: x(t) = 1 (C.I.)

 $t \in [0,1]: x(t) = 1 - t,$

 $t \in [1,2]$: $x(t) = \frac{1}{2} - t + \frac{t^2}{2}, 0$

etc.





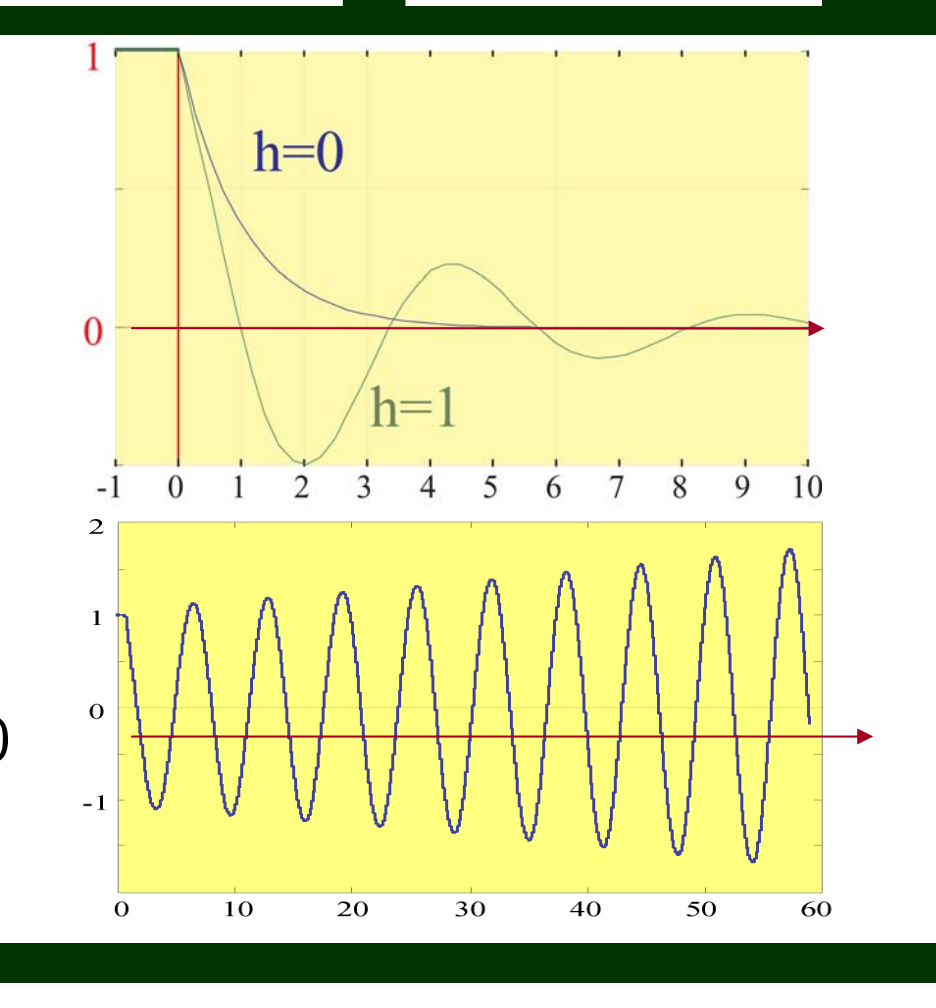
$$\dot{x}(t) + x(t - h) = 0$$

selon h ?

$$\dot{x}(t) + x(t) = 0$$

$$\dot{x}(t) + x(t-1) = 0$$

$$\dot{x}(t) + x(t - 1.6) = 0$$

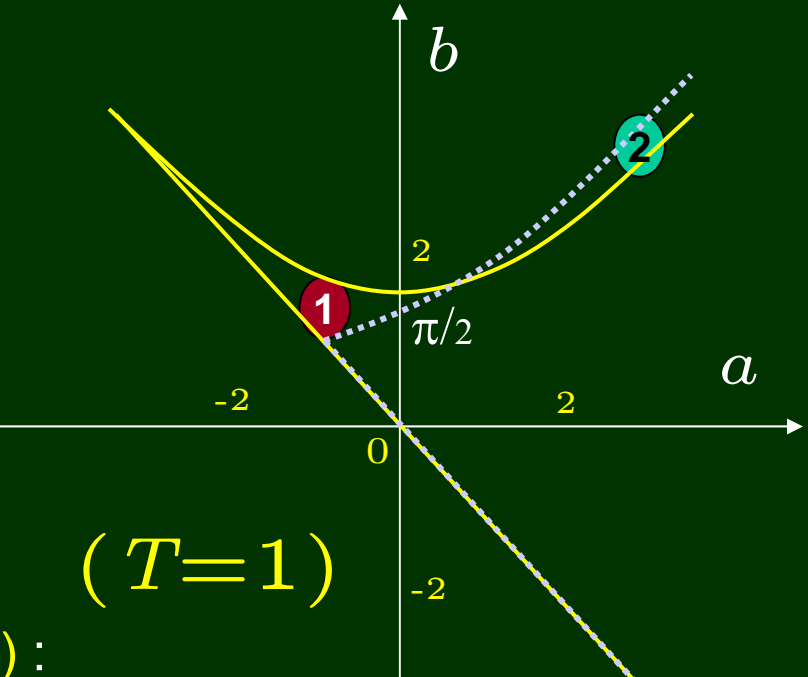


... et attention aux retards variables!

$$\dot{x}(t) = -ax(t) - bx(t - h(t)) \tag{1}$$

$$h(t) = t - kT \text{ pour } kT < t \le (k+1)T$$

$$h(t) = t - kT \text{ pour } t \le (k+1)T$$



est asymptotiquement stable ssi (zone jaune):

$$\left|(1+\frac{b}{a})e^{-aT}-\frac{b}{a})\right|<1 \qquad \text{si } a\neq 0$$

$$|1-bT|<1 \qquad \qquad \text{si } a=0$$

- 1 stable h(t)<1 instable h=cte<1
- 2 instable h(t)<1 stable h=cte<1

et, pour $h = \text{cste} \in [0,1]$ ssi (zone grise)

Few words about Lyapunov's direct method for TDS

ODE:

$$\dot{x}(t) = -ax(t)$$



$$V(x(t)) = x^2(t) > 0$$

ODE:

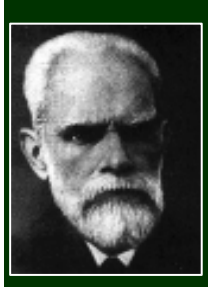
$$\dot{x}(t) = -ax(t)$$
 $\dot{V}(x(t)) = x^2(t) > 0$
 $\dot{V}(x(t)) = -2 \ ax^2(t) < 0... \text{ etc.}$

FDE:

$$\dot{x}(t) = -ax(t) - bx(t - h)$$

$$V(x(t)) = x^2(t)$$
 (« usual » quadratic)

$$\dot{V}(x(t)) = -2 \left[ax^2(t) + bx(t)x(t-h) \right] \leq \dots ?$$



need of delay-dedicated methods:



- 1) Lyapunov-Razumikhin functions (not here)
- 2) Lyapunov-Krasovskii functionals



an illustration of the Lyapunov-Krasovskii approach

$$\dot{x}(t) = -ax(t) - bx(t - h)$$

$$V(x_t) = x^2(t) + |b| \int_{-h}^{0} x^2(t + s) ds$$
 (quad + integral)

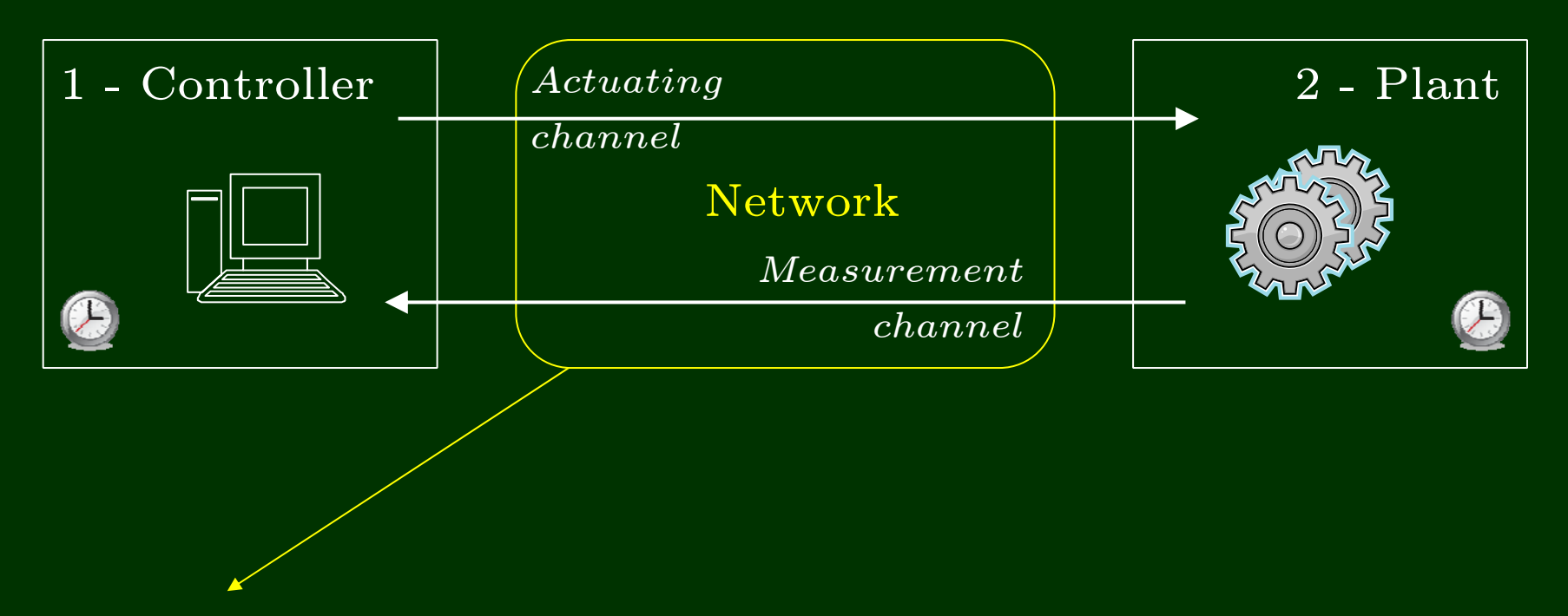
$$\dot{V}(x_t) = -2x(t)[ax(t) + bx(t - h)] + |b|[x^2(t) - x^2(t - h)]$$

$$\leq -2(a - |b|)x^2(t) \quad ... \quad \dot{V}(x_t) < 0 \text{ if } |b| < a$$

LK-functionals were used in the above NCS proofs (under a much more general form, since case a=0...)

2) Problématique générale

NCS boucle unique



Types de réseau:

✓ spécialisés (ControlNet, DeviceNet) : transmission fréquente de petits paquets → temps garanti mais



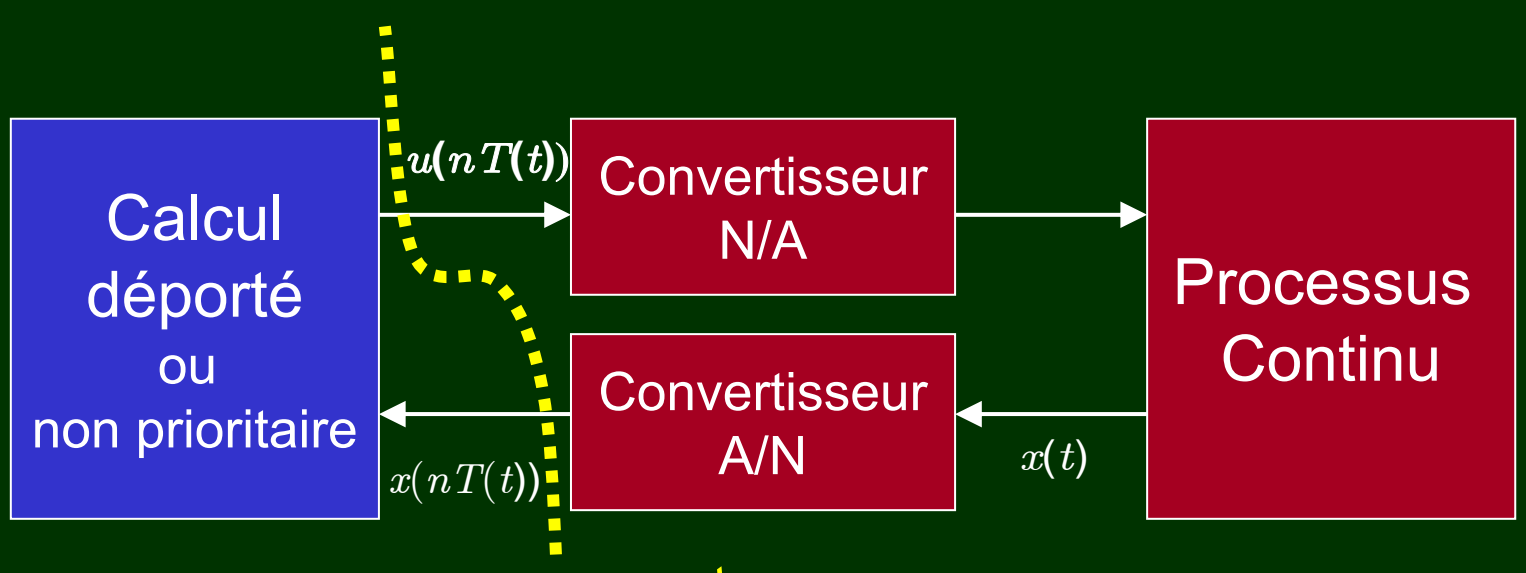
✓ ethernet : transmission plus rare de paquets plus gros → délais non garantis mais €

Effets du réseau sur le contrôle boucle fermée

| Problème | Traduction contrôle | Systèmes concernés | Non concernés |
|---|--|---|--|
| bande passante limitée | quantification, quantité d'info par seconde limitée (Shannon, <i>maximum bit rate</i>) | systèmes à ressources énergie limitée (UAVs, réseaux de µ-capteurs ou de µ-actionneurs) | envoi par paquets type Inter/Ethernet, Bluetooth 1 bit ou 300 → idem ATM=384, Ethernet>368, Bluetooth>499 |
| échantillonnage, codage, ordo, transmission, asynchronisme | retards variables, estimés si modèle ou time-stamps | systèmes à transmission par paquets | réseau spécialisé (ControlNet, DeviceNet) et non partagé |
| perte de paquets | échantillonnage asynchrone, retard variable | sans fil, protoc. type UDP | protocoles type TCP (mais peu utile : perte de temps pour infos périmées) |
| désynchronisation des horloges | retards (au moins) | internet | réseau spécialisé contrôle (CAN bus) |

3) Échantillonnage et retard

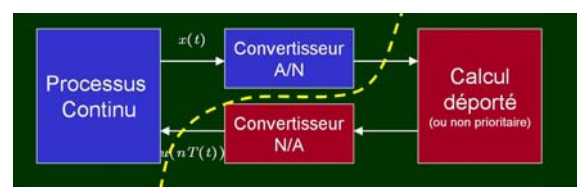
3) échantillonnage et retard

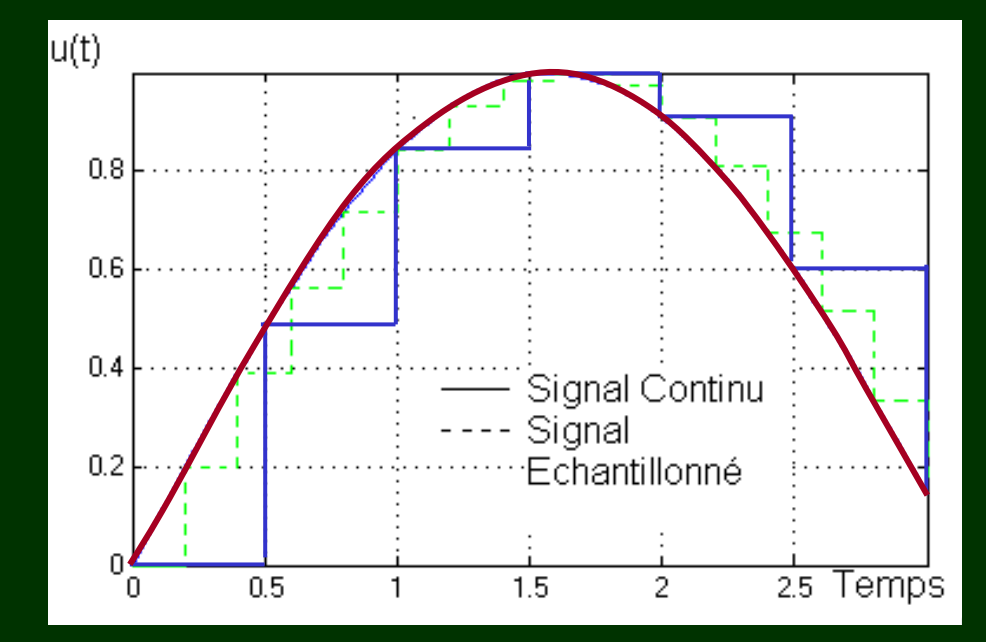


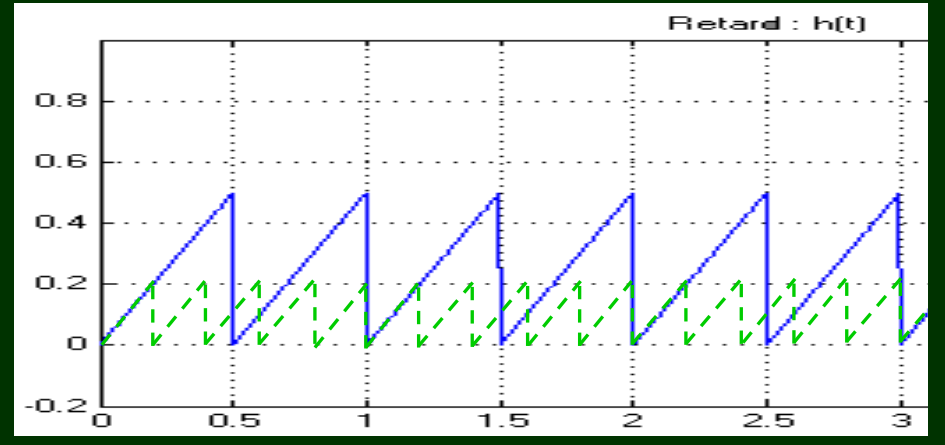
perte de paquet, ordonnancement de tâches...

transformée en z, tout va bien, etc.

$$u(t) = u_d(t_k) = g(x(t_k)), t_k \neq kT$$







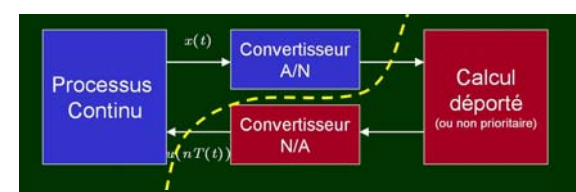
Fridman, Seuret, JPR - Automatica 2004

Signal échantillonné bloqué (ici, à période constante)

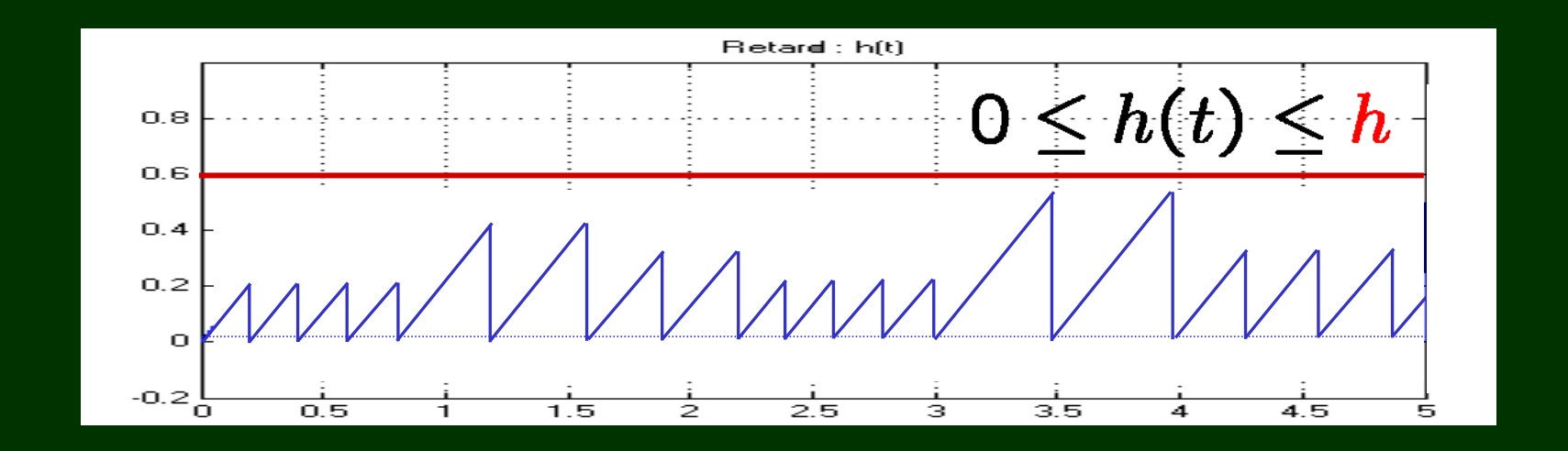


Signal retardé par h(t) variable

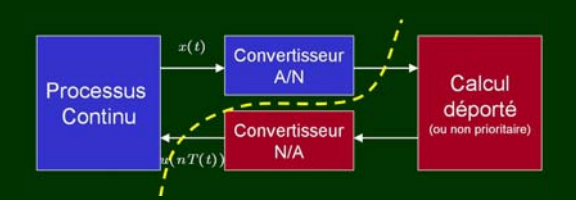
$$u(t) = u_d(t_k) = u_d(t - [t - t_k]) = u(t - h(t))$$



Re-formulation du problème



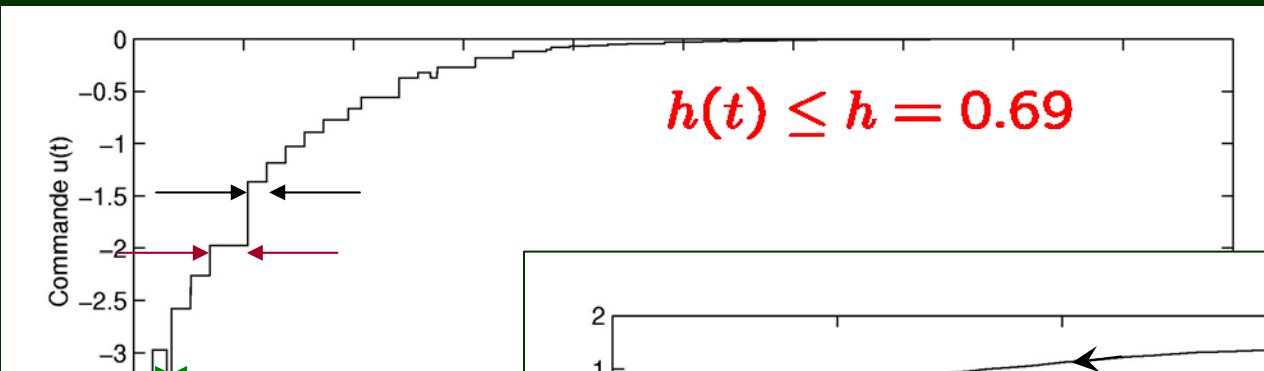
- influence de la période maxi d'échantillonnage h
- application du critère de E. Fridman $\dot{h}(t) \leq 1$



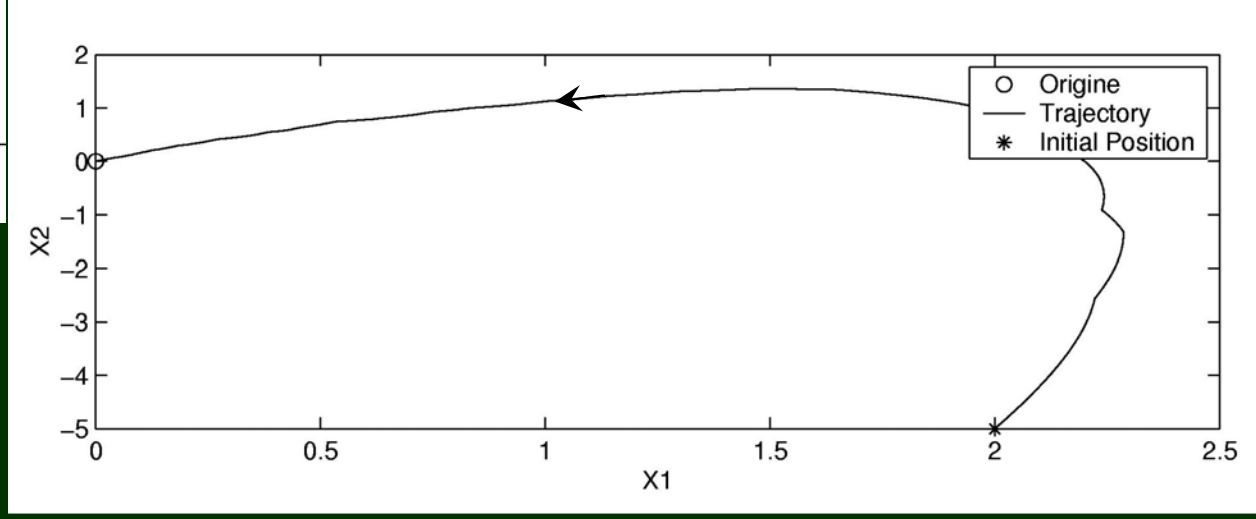
Exemple : instable → glob. as. stable

$$\dot{x}(t) = \begin{bmatrix} 1 & 0.5 \\ 0 & -1 \end{bmatrix} x(t) + \begin{bmatrix} 1 \\ -1 \end{bmatrix} Kx(t_k)$$





valeur limite en simu (T=cte): 0.7



3.2. Autre approche de l'échantillonnage variable

Thèse L. Hetel 2007 + IEEE TAC 2006 (Daafouz, lung)

- incertitude exponentielle en $T = \theta_i \rightarrow \text{modèle à événement}$
- Taylor des termes exponentiels + incertitude sur troncature → modèle polytopique
- modèle augmenté → systèmes à commutation
- synthèse LMI de retour d'état robuste en T

$$x(k+1) = A(k)x(k) + B(k)u(k)$$

$$A(k) = e^{M(t_{k+1}-t_k)}, \ B(k) = \int_0^{t_{k+1}-t_k} e^{M(t_{k+1}-t_k-s)} dsN.$$

$$a(k) = e^{M(t_{k+1}-t_k)}, \ B(k) = \int_0^{t_{k+1}-t_k} e^{M(t_{k+1}-t_k-s)} dsN.$$

$$a(k) = e^{M(t_{k+1}-t_k)}, \ B(k) = \int_0^{t_{k+1}-t_k} e^{M(t_{k+1}-t_k-s)} dsN.$$

$$a(k) = e^{M(t_{k+1}-t_k)}, \ B(k) = \int_0^{t_{k+1}-t_k} e^{M(t_{k+1}-t_k-s)} dsN.$$

$$a(k) = e^{M(t_{k+1}-t_k)}, \ B(k) = \int_0^{t_{k+1}-t_k} e^{M(t_{k+1}-t_k-s)} dsN.$$

$$a(k) = e^{M(t_{k+1}-t_k)}, \ B(k) = \int_0^{t_{k+1}-t_k} e^{M(t_{k+1}-t_k-s)} dsN.$$

$$a(k) = e^{M(t_{k+1}-t_k)}, \ B(k) = \int_0^{t_{k+1}-t_k} e^{M(t_{k+1}-t_k-s)} dsN.$$

$$a(k) = e^{M(t_{k+1}-t_k)}, \ B(k) = \int_0^{t_{k+1}-t_k} e^{M(t_{k+1}-t_k-s)} dsN.$$

$$a(k) = e^{M(t_{k+1}-t_k)}, \ B(k) = \int_0^{t_{k+1}-t_k} e^{M(t_{k+1}-t_k-s)} dsN.$$

$$a(k) = e^{M(t_{k+1}-t_k)}, \ B(k) = \int_0^{t_{k+1}-t_k} e^{M(t_{k+1}-t_k-s)} dsN.$$

$$a(k) = e^{M(t_{k+1}-t_k)}, \ B(k) = \int_0^{t_{k+1}-t_k} e^{M(t_{k+1}-t_k-s)} dsN.$$

$$a(k) = e^{M(t_{k+1}-t_k)}, \ B(k) = \int_0^{t_{k+1}-t_k} e^{M(t_{k+1}-t_k-s)} dsN.$$

$$a(k) = e^{M(t_{k+1}-t_k)}, \ B(k) = \int_0^{t_{k+1}-t_k} e^{M(t_{k+1}-t_k-s)} dsN.$$

$$a(k) = e^{M(t_{k+1}-t_k)}, \ B(k) = \int_0^{t_{k+1}-t_k} e^{M(t_{k+1}-t_k-s)} dsN.$$

$$a(k) = e^{M(t_{k+1}-t_k)}, \ B(k) = \int_0^{t_{k+1}-t_k} e^{M(t_{k+1}-t_k-s)} dsN.$$

$$a(k) = e^{M(t_{k+1}-t_k)}, \ B(k) = \int_0^{t_{k+1}-t_k} e^{M(t_{k+1}-t_k-s)} dsN.$$

$$a(k) = e^{M(t_{k+1}-t_k)}, \ B(k) = \int_0^{t_{k+1}-t_k} e^{M(t_{k+1}-t_k-s)} dsN.$$

$$a(k) = e^{M(t_{k+1}-t_k)}, \ B(k) = \int_0^{t_{k+1}-t_k} e^{M(t_{k+1}-t_k-s)} dsN.$$

$$a(k) = e^{M(t_{k+1}-t_k)}, \ B(k) = \int_0^{t_{k+1}-t_k} e^{M(t_{k+1}-t_k-s)} dsN.$$

$$a(k) = e^{M(t_{k+1}-t_k-s)}, \ B(k) = \int_0^{t_{k+1}-t_k} e^{M(t_{k+1}-t_k-s)} dsN.$$

$$a(k) = e^{M(t_{k+1}-t_k-s)}, \ B(k) = \int_0^{t_{k+1}-t_k-s} e^{M(t_{k+1}-t_k-s)} dsN.$$

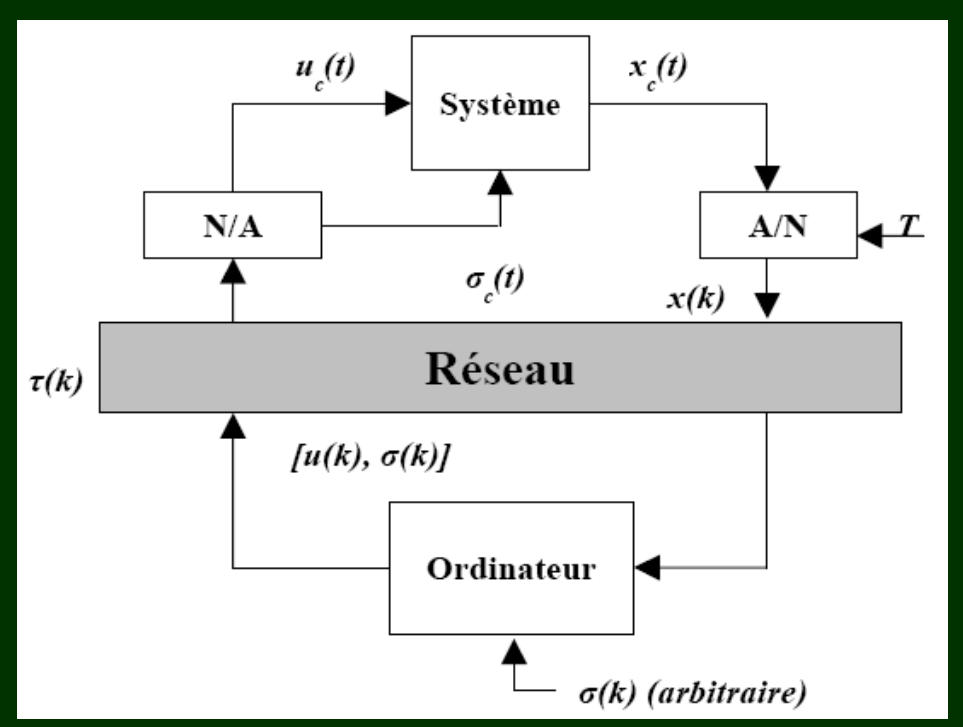
$$a(k) = e^{M(t_{k+1}-t_k-s)}, \ B(k) = \int_0^{t_{k+1}-t_k-s} e^{M(t_{k+1}-t_k-s)} dsN.$$

$$\underbrace{ \begin{bmatrix} z_i = \begin{bmatrix} \eta_i^T & \eta_{i-1}^T & \dots & \eta_{i-\overline{\theta}}^T \end{bmatrix}^T}_{\bar{A}(\rho_i)} = \begin{bmatrix} A(\rho_i) & \mathbf{0} & \dots & \dots & \mathbf{0} \\ \mathbf{I} & \mathbf{0} & \dots & \dots & \mathbf{0} \\ \mathbf{0} & \mathbf{I} & \mathbf{0} & \dots & \mathbf{0} \\ \vdots & & & & \vdots \\ \mathbf{0} & \dots & \mathbf{0} & \mathbf{I} & \mathbf{0} \end{bmatrix}, \ \bar{B}(\rho_i) = \begin{bmatrix} B(\rho_i) \\ \mathbf{0} \\ \mathbf{0} \\ \vdots \\ \mathbf{0} \end{bmatrix} \begin{bmatrix} u_i = \bar{K}_{(\theta_i)} z_i, \\ \bar{K}_{(\theta_i)} = [\mathbf{0} & \dots & \mathbf{0} & K & \mathbf{0} & \dots & \mathbf{0} \end{bmatrix}$$

autre cas traité par Hetel:

échantillonnage + réseau avec :

 $\tau_{min} \le \tau(k) \le \tau_{max} \le T_{ech}$



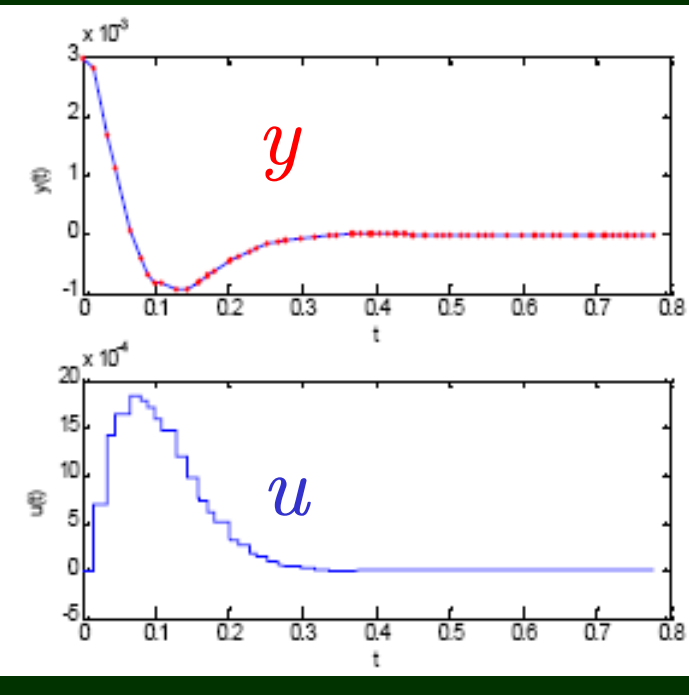
Exemple simulé :

$$G_p(s) = \frac{1000}{s(0.25s+1)}.$$

$$T = 0.015s$$

jitter
$$\delta T \in [0, 0.005s]$$

$$\tau_{min} = 0.001s \text{ et } \tau_{max} = 0.018s.$$



4) Commande

to buff, or not buff?

1ère solution = faire comme si constant

✓ [Niemeyer & Slotine 98][Huang & Lewis 03][Azorin et al., 03][Fattouh & Sename 03] etc.

2^{ème} solution = rendre le retard constant

- donc le maximiser : $0 \le h_i(t) \le h_{max} \Rightarrow h_i(t) = h_{max}$
- grâce à une mémoire tampon (buffer) → time-driven
- puis application des techniques classiques :
 - ✓ prédictives (Smith) [Lelevé & Fraisse 2001]
 - Îcart à modèle de réf. retardé [Estrada, Marquez, Moog 2007]
 - ✓etc.

3e solution (interméd.) à un seul buffer

[Seuret 06] [Jiang et.al 08]

4^{ème} solution = garder le retard variable...

✓ [Witrant et al. 07][Seuret & Rich 08] → event-driven

Retard de réseau : variable, asymétrique ->

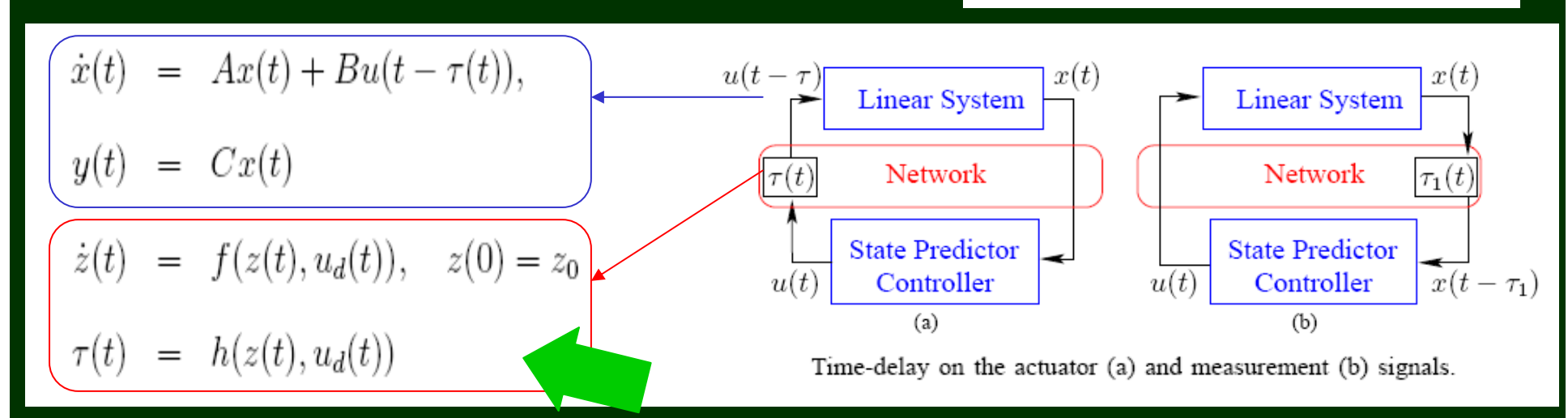
 $\begin{array}{c|c} h_1(t) \\ \hline \\ \text{buffer?} \\ \hline \\ h_2(t) \\ \hline \end{array}$

4.1. Commande avec modèle prédictif du réseau

Thèse E. Witrant 2005 + IEEE TAC 2007 (Witrant, Canudas, Georges, Alamir)

- réseau modélisé, sans perte de paquets
- prédicteur d'état pour retards variables (connus, prédits)
- contrôleur type placement de spectre fini (FSA)
- horizon de prédiction variable
- preuves de robustesse (par approche small gain)
- application pendule inverse en T

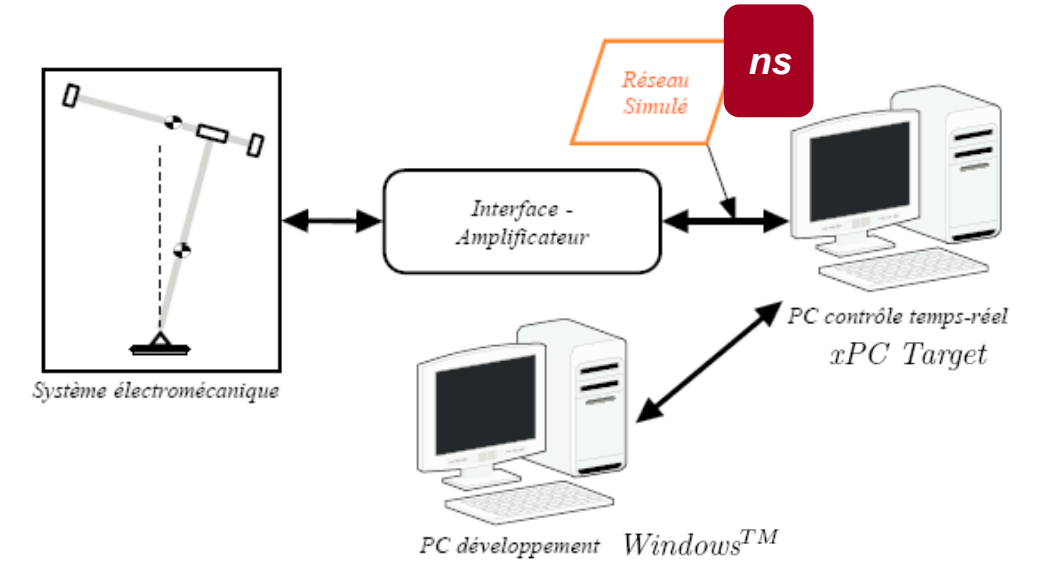
$$\begin{split} \dot{x}(t) &= Ax(t) + Bu(t - \tau(t)) \\ u(t) &= -Ke^{A\hat{\delta}(t)} \bigg[x(t) \\ &+ e^{At} \int_{t}^{t + \hat{\delta}(t)} e^{-A\theta} Bu(\theta - \hat{\tau}(\theta)) d\theta \bigg] \end{split}$$
 where $\hat{\delta}(t) = \hat{\tau}(t + \hat{\delta}(t))$ is the prediction horizon



$$\dot{x}(t) = \begin{bmatrix} 0 & 1 & 0 & 0 \\ -18.785 & 0 & 14.820 & 0 \\ 0 & 0 & 0 & 1 \\ 56.924 & 0 & -15.181 & 0 \end{bmatrix} x + \begin{bmatrix} 0 \\ 7.520 \\ 0 \\ -8.824 \end{bmatrix} u$$

Chapitre 5. Application et Expérimentation

© Witrant 2005



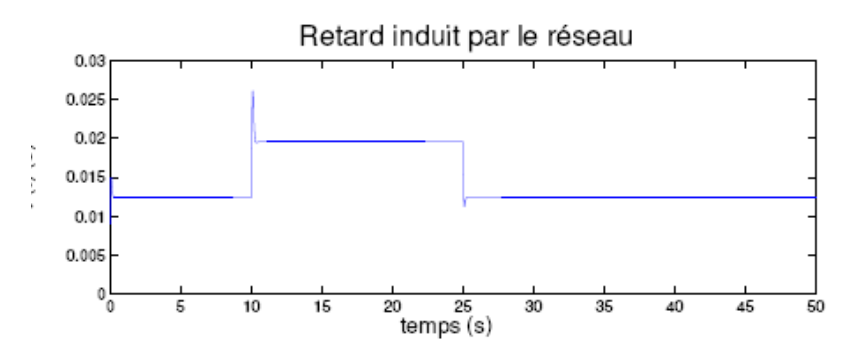
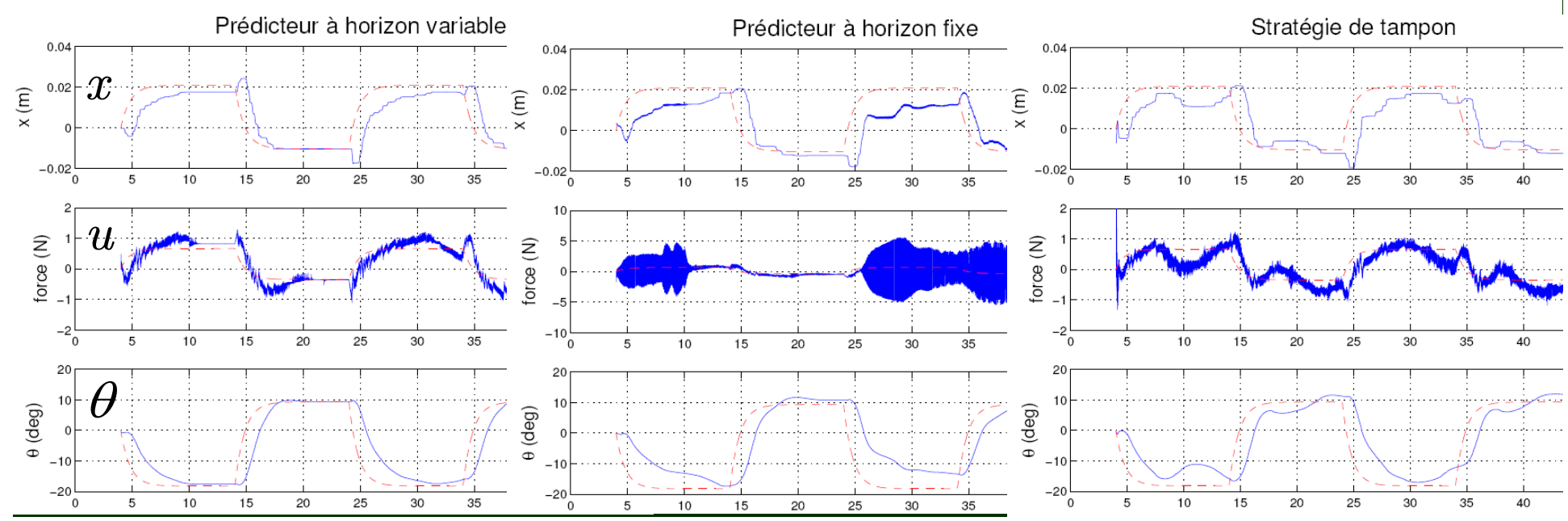
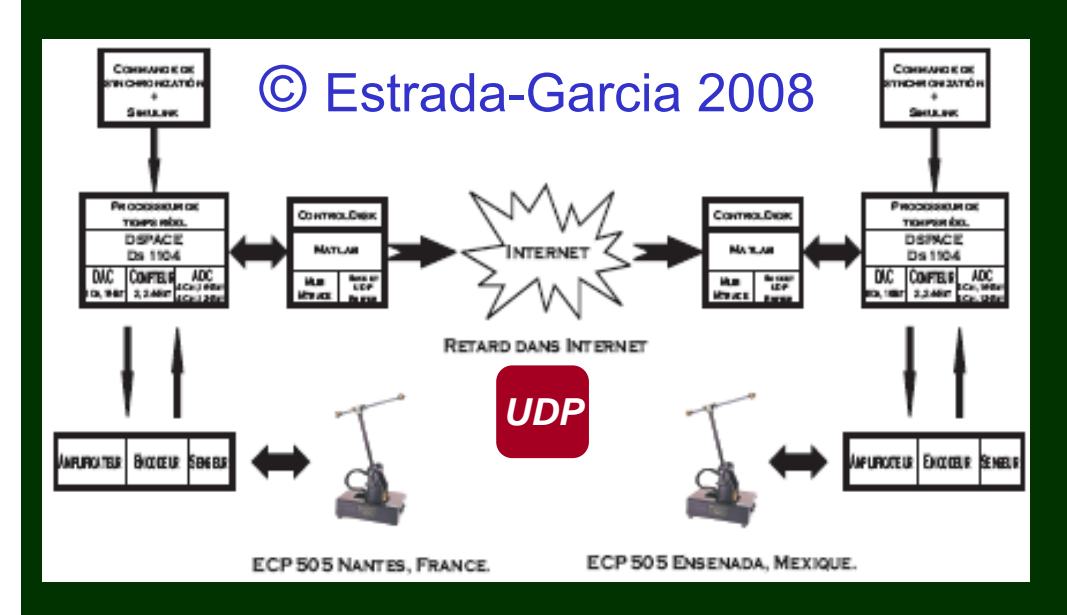


Fig. 5.6 – Banc d'essai expérimental.



4.2. Commande avec tampons aller+retour

Thèse H.J. Estrada-Garcia 2008 (+Moog, Marquez-Martinez)



Sinchronisation avec retard IRCCyN - CICESE

1 0.5 10 15 20 25 30

Pendule simulé, réseau réel

But: synchronisation d'un pendule esclave (Nantes) sur un pendule maître (Ensenada).

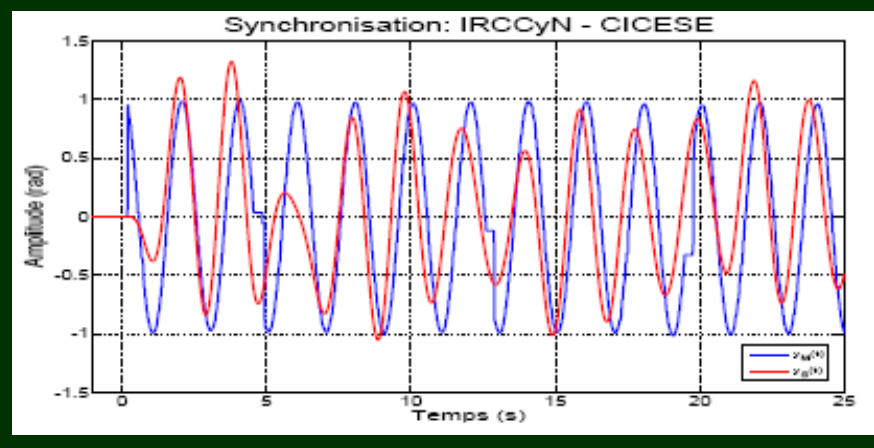
 y^{ref} supposée connue par les deux.

Stratégie:

- 1) buffers à 300ms = τ
- 2) commande tq écart m/e régi par :

$$e^{(3)}(t) + a_2\ddot{e}(t-\tau) + b_2\dot{e}(t-\tau) + c_2e(t-\tau) = 0.$$

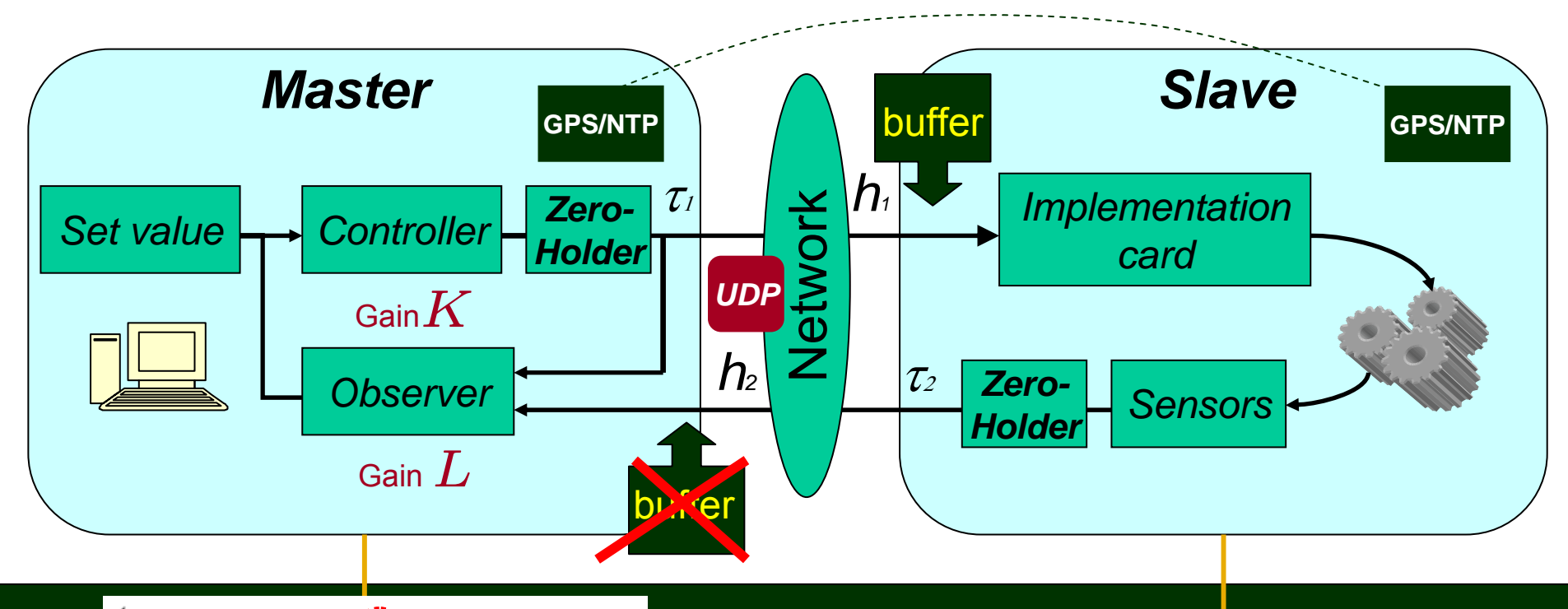
→ commande causale



Pendule réel, réseau réel

4.3. Commande avec tampon aller seul

Thèse A. Seuret 2006 (+Dambrine, JPR)



$$\begin{cases} \dot{\hat{x}}(t) = A\hat{x}(t) + Bu(t + \delta_1 + b) & \text{connu} \\ -L(y(t - \delta_2(t)) - \hat{y}(t - \delta_2(t))), & \text{grâce} \\ \hat{y}(t) = C\hat{x}(t), & \text{au buffer} \end{cases}$$

- fixe la consigne
- reçoit la sortie de Slave
- observe l'état de Slave
- calcule & envoie commande

• Puissance de calcul limitée

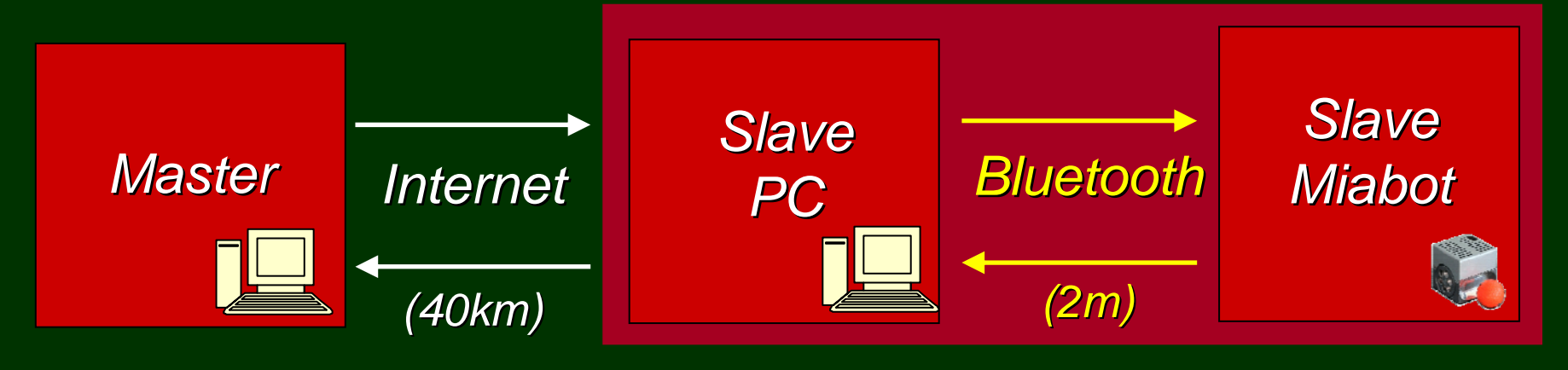
$$\dot{x}(t) = Ax(t) + Bu(t - \delta_1(t)),$$

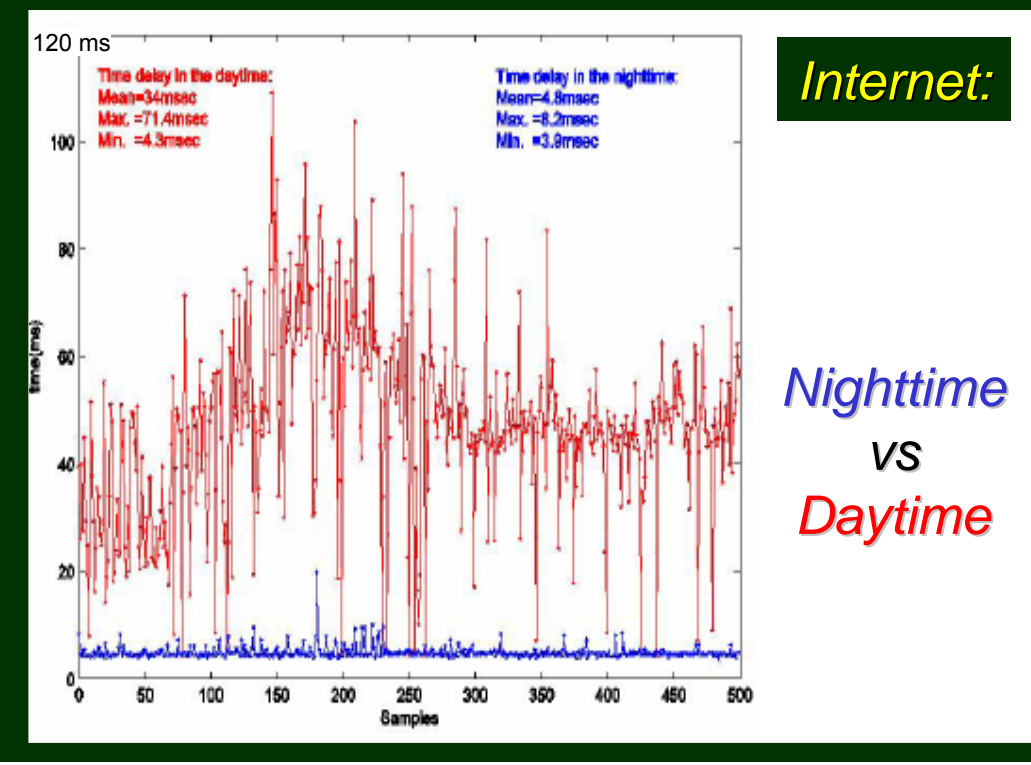
$$y(t) = Cx(t).$$

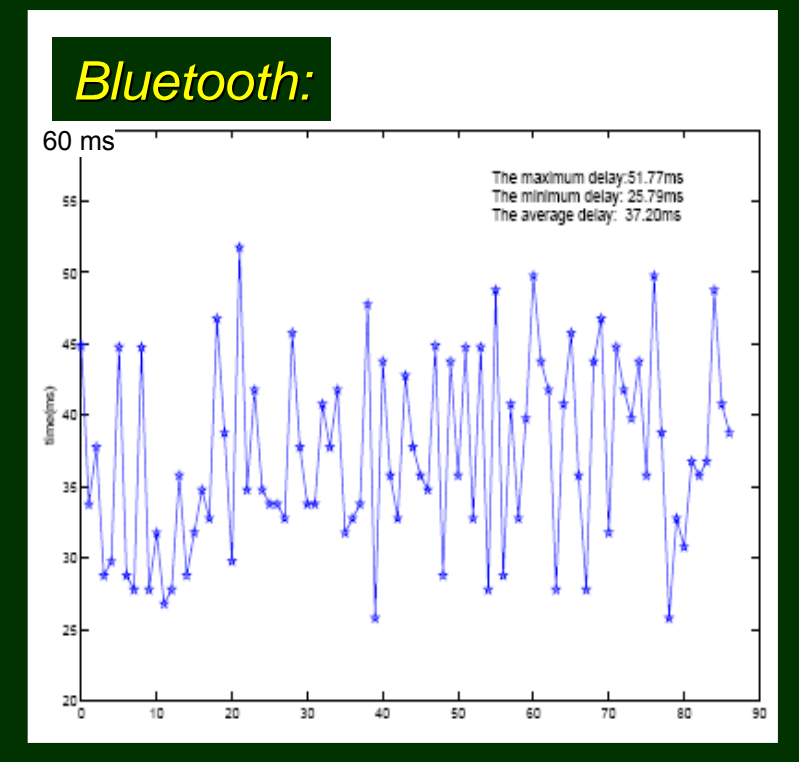
- reçoit & applique commande
- envoie la sortie mesurée

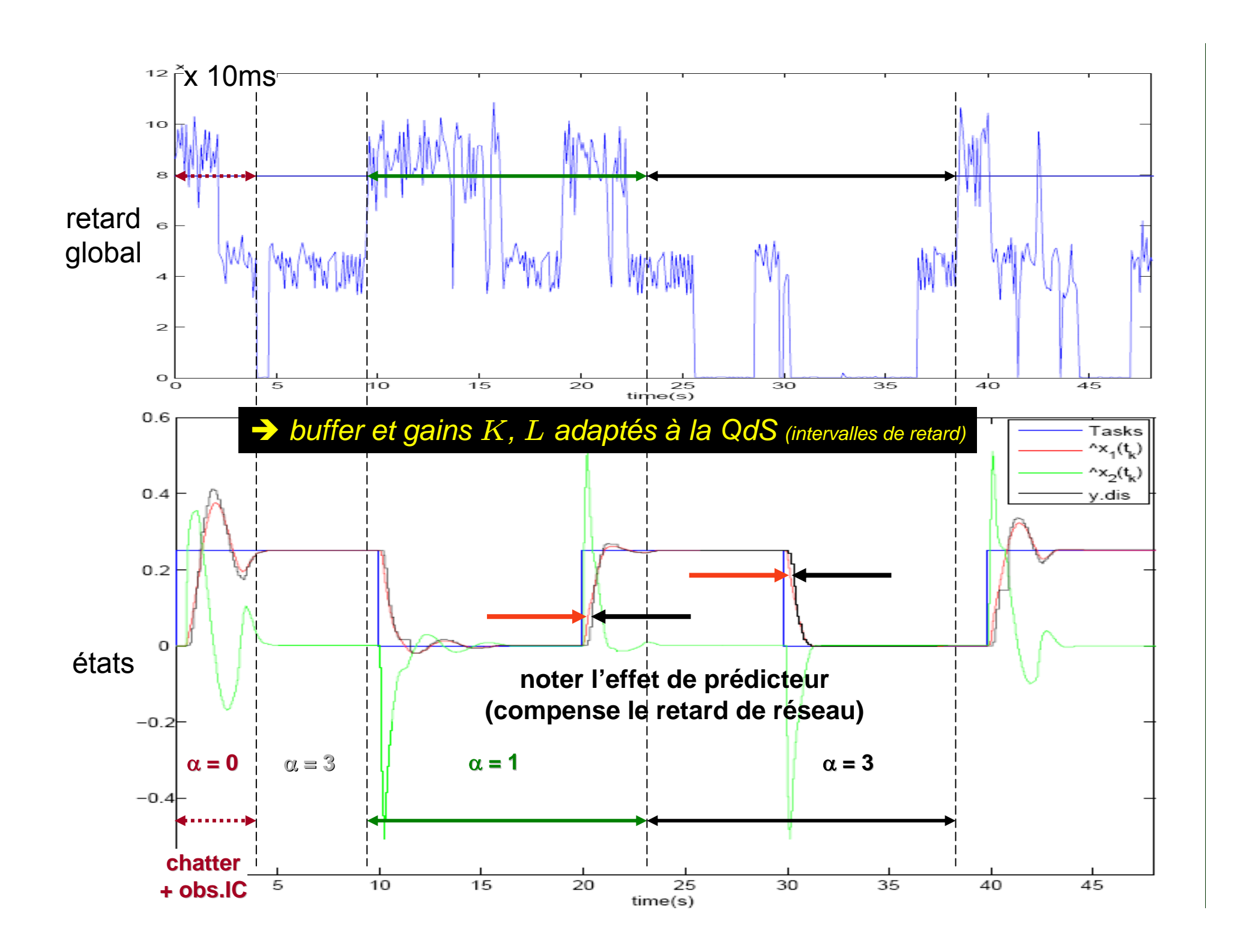
Thèse W. Jiang 09 + Springer 08 (+Kruszewski, Toguyeni, JPR)

Passage à l'expérimental + adaptation à la QdS disponible



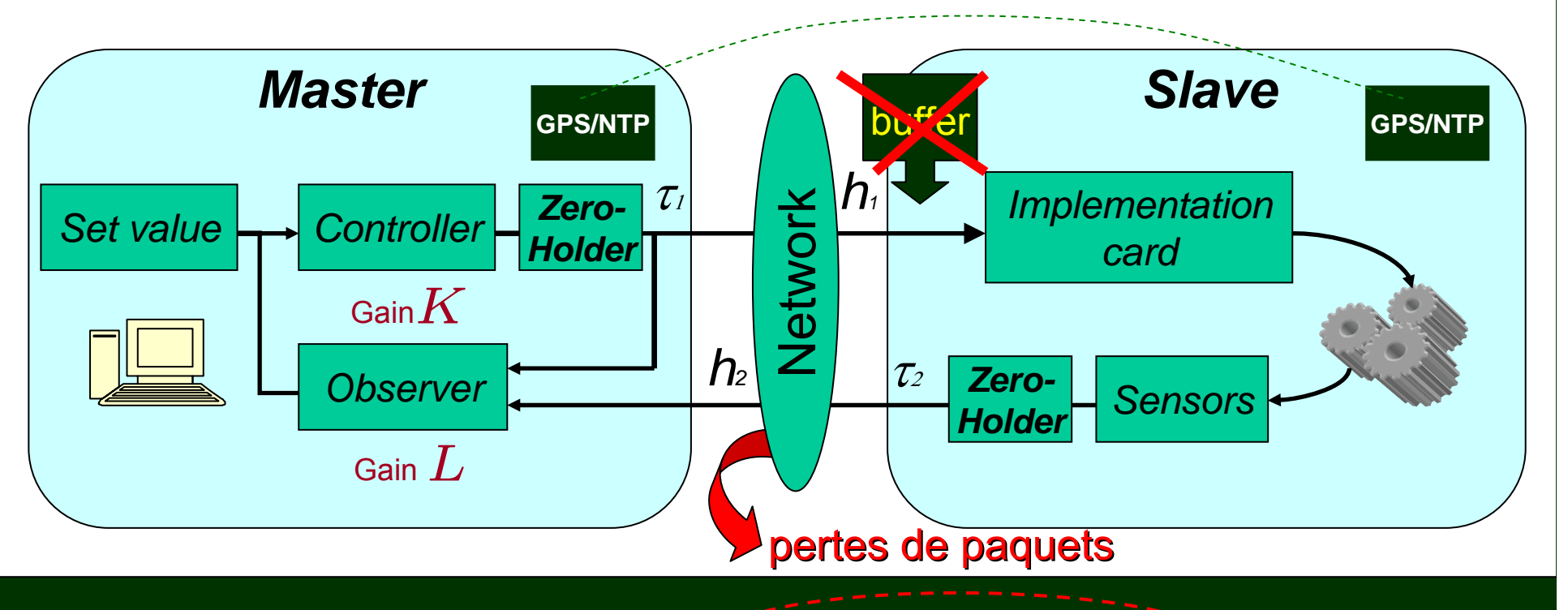






4.3. Commande sans tampon

A. Seuret - JPR 2008



$$\begin{cases} \dot{\hat{x}}(t) = A\hat{x}(t) + Bu(t - \hat{\delta}_{1}(t)); \\ -L(y(t - \delta_{2}(t)) - \hat{y}(t - \delta_{2}(t))), \\ \hat{y}(t) = C\hat{x}(t), \end{cases} \begin{cases} \dot{x}(t) = Ax(t) + Bu(t - \hat{\delta}_{1}(t)); \\ y(t) = Cx(t). \end{cases}$$

Résumé

- Problématique générale
- Echantillonnage [Fridman-Seuret-R 04] [Hetel 07]
- Commande avec modèle du réseau [Witrant 05]
- Commande sans modèle de réseau :
 - ✓ avec 2 tampons [Estrada 08]
 - ✓ avec 1 tampon [Seuret 06]

 - ✓ avec 0 tampon [Seuret-R 08]

échantillonnage = retard variable

prédicteur à retard variable

modèle d'écart retardé

retour d'état + observ./prédict.

"

4 6